

## ОБОБЩЕННАЯ МИКРОСКОПИЧЕСКАЯ МОДЕЛЬ АНОМАЛЬНОГО МЮОННИЯ И ЕГО ВОДОРОДНОГО АНАЛОГА В КРЕМНИИ

Мякенькая Г. С., Гуцев Г. Л., Самойлов В. М.

Предложена новая микроскопическая модель аномального мюонния ( $Mu^*$ ) и его водородного аналога —  $AA9$ -центра в элементарных полупроводниках. Рассмотрена конфигурация, состоящая из диамагнитной молекулы  $Si-Mu$  ( $Si-H$ ) и неспаренной орбитали  $e^-$ , которые помещены в полуvakансию (неразделенная пара Френкеля) соответствующей кристаллической решетки алмазного типа. Основные свойства системы, включая сверхтонкое взаимодействие, определены на модели кластера  $Si_5H_{12}+H$  с использованием неограниченной процедуры Хартри—Фока. Обсуждается динамический вариант модели вместе с вопросом о возможности образования такой системы.

1. Метод вращения мюонного спина ( $\mu SR$ ) позволяет различать два типа параметрических центров, образующихся при имплантации положительных мюонов в различные образцы монокристаллических полупроводников [1]. Во-первых, это нормальный мюоний  $Mi$  ( $Mi$ -центр), представляющий водородоподобную систему  $\mu^+e^-$ , сверхтонкое взаимодействие (СТВ) в которой изотропно и определяется СТВ константой  $A$ , составляющей около половины от величины  $A_{vac}=4463$  МГц для нормального мюония в вакууме. Второй тип известен как аномальный мюоний  $Mu^*$  ( $Mu^*$ -центр), для которого СТВ оказывается анизотропным с осевой симметрией вдоль одного из  $\langle 111 \rangle$  направлений решетки и определяется парой СТВ констант  $A_s$ ,  $A_i$  или  $A_s$  и  $A_p$  (контактный и дипольный члены СТВ) с величинами на два порядка меньше  $A_{vac}$ . Поскольку большинство свойств  $Mu^*$ -центра совпадает для всех элементарных полупроводников (кремний, германий, алмаз), в дальнейшем для простоты ограничимся только рассмотрением  $Mu^*$ -центра в кремнии. В этом случае  $\mu SR$ -эксперимент дает  $A_s=-67.3$  и  $A_p=25.3$  МГц, причем обращает на себя внимание отрицательный знак величины  $A_s$  ( $Mu^*$ ) относительно величины  $A_{vac}$ . Второй характерной чертой  $Mu^*$ -центра в кремнии является наличие пары сателлитов, симметричных относительно главной линии  $\mu SR$ , что вызвано сверхтонким взаимодействием мюона с одним из ядер изотопа  $^{29}Si$ . Первоначально этот эффект был обнаружен на  $AA9$ -центре (водородный аналог  $Mu^*$ -центра) методом ЭПР [2] в гидрогенированном кремнии, а затем соответствующая пара сателлитов была найдена методом  $\mu SR$  [3] в сверхчистом кремнии. Поскольку содержание  $^{29}Si$  в естественной смеси изотопов известно и составляет 4.7 %, а суммарная интенсивность сателлитов не превышает 10 % от главной  $\mu SR$ -линии, принято считать  $Mu^*$ -центр в кремнии системой, содержащей два эквивалентных  $Si$ -атома, расположенных симметрично относительно мюона вдоль той же  $\langle 111 \rangle$  оси.

Тем не менее микроскопическая картина  $Mu^*$ -центра в полупроводниках в настоящее время не может считаться полностью завершенной, хотя феноменология СТВ в  $Mu^*$ -центре была выяснена более 10 лет назад [1, 4], и было предложено несколько микроскопических моделей. Из них наиболее известны в настоящее время модель  $BC$  (bond-centered, модель центрированной связи) [5] и вакансационная модель [6–8].  $BC$ -модель представляет  $Mu^*$ -центр просто в виде цепочки  $Si-Mu-Si$ , в которой нормальный мюоний  $Mi$  расположен строго в середине

ненарушенной валентной Si—Si-связи. Такая модель естественным образом объясняет наличие пары эквивалентных Si-атомов в составе  $Mi^*$ -центра. Однако BC-модель сильно переоценивает величины обеих констант  $A_s$  и  $A_p$  (на порядок). Вторая (вакансационная) модель (введенная ранее как модель химической связи [9]) представляет  $Mi^*$ -центр в виде конфигурации, включающей диямагнитную молекулу Si—Mu (аналог Si—H-молекулы в силене) и неспаренную орбиталь  $e^-$  в виде оборванной связи. Вся конфигурация Si—Mu(H) $+e^-$  помещена в моновакансию соответствующей решетки. Вакансационная модель правильно воспроизводит знаки и порядок величин СТВ констант  $A_s$  и  $A_p$ , однако

не в состоянии обеспечить пару эквивалентных Si-атомов в рассматриваемой системе.

Позже BC-модель была развита в BC-модель с релаксацией [10], в которой Si-атомы, ближайшие к мюону, могли симметрично раздвигаться (в работе [10]

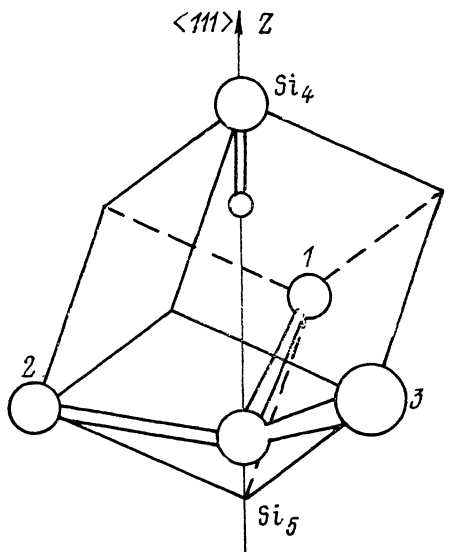


Рис. 1. Общий вид кластера  $Si_5H_{12}+H$ , в котором атом Si (5) смещен в центр треугольника Si (1, 2, 3), а H-атом образует связь Si (4)—H.

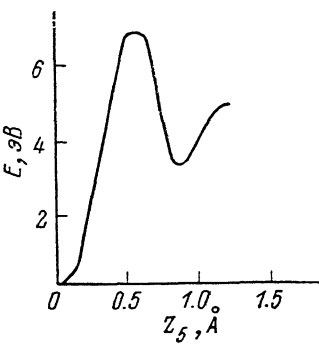
12 атомов H, насыщающих внешние связи атомов, не показаны для простоты.

Рис. 2. Зависимость полной энергии  $E$  ( $Z_5$ ) кластера  $Si_5H_{12}$  от  $Z_5$ -координаты Si (5)-атома.

величина сдвига выбрана равной  $0.5 \text{ \AA}$  для каждого из Si-атомов). В таком случае исходная валентная Si—Si-связь разрывается, и Mu-атом может образовать Si—Mu-молекулу на одном из этих Si-атомов, оставляя неспаренную орбиталь  $e^-$  на другом Si-атоме исходной пары. Поскольку молекула Si—Mu может образоваться на любом из двух Si-атомов, возможны переходы вследствие туннелирования из одной конфигурации в другую с частотами  $\sim 10^{13} \text{ c}^{-1}$ , что намного выше всех характерных СТВ частот в системе. Это обстоятельство приводит к тому, что в течение одного периода СТВ в системе электрон—мюон действие на последний каждого из атомов Si-пары оказывается одинаковым (динамическое восстановление симметрии). Таким способом обеспечивается эквивалентность обоих Si-атомов в системе.

Достаточно сходный сценарий, включающий периодические туннельные переходы между двумя эквивалентными конфигурациями, предлагается и в нашей работе, представляющей обобщенную модель  $Mi^*$ -центра, основные результаты которой опубликованы ранее в [11].

2. Все расчеты в данной работе выполнены с использованием ab initio неограниченной процедуры Хартри—Фока наряду с дискретновариационным методом  $X_\alpha$  ( $DV-X_\alpha$ ) [12], который неоднократно использовался ранее для определения ряда параметров различных полупроводниковых материалов [13]. Решеточные свойства в таких расчетах представлены кластером  $Si_5H_{12}+H$  конечных размеров (рис. 1), который имеет вид тетраэдра с атомом Si (5) в центре и атомами Si (1, 2, 3, 4) в вершинах, удаленных от центра каждый на  $2.35 \text{ \AA}$ .



(расстояние между ближайшими соседями в жесткой решетке кремния). Внешние неспаренные орбитали каждого из Si (1, 2, 3, 4) насыщены двенадцатью H-атомами. В систему входит также дополнительный H-атом, выполняющий роль Ми-атома в  $Mi^*$ -центре. Как следует из работы [14], где специально сравнивались результаты расчетов полной энергии и параметров СТВ системы, выполненных для аналогичного малоатомного кластера, с результатами тех же расчетов на 27-атомном кластере, разница в обоих случаях не превышает 20 %. В том, что построенный таким способом «минимальный» кластер  $Si_5H_{12} + H$  воспроизводит основные черты системы с достаточной точностью, можно убедиться (см. [15]), вычисляя электрический заряд  $Q$ , передаваемый на атомы Si (1, 2, 3, 4) от следующей координационной сферы — 12 H-атомов. Этот заряд оказался равным всего  $-0.04 e^-$ , что отражает достаточно слабое влияние на систему следующих координационных сфер.

3. Анализ начинаем с неполной конфигурации  $Si_5H_{12}$  без дополнительного H-атома внутри системы. Выберем ось  $Z$  вдоль того из  $\langle 111 \rangle$  направлений, которое проходит через атом Si (4), для определенности. Передвигая атом Si (5) вдоль этой оси  $Z$  в сторону плоскости Si (1, 2, 3) и фиксируя при этом Si (1, 2, 3, 4) и, разумеется, 12 H-атомов, будем вычислять полную энергию  $E$  такой системы как функцию  $Z_5$  координаты Si (5)-атома. Результаты соответствующего расчета приведены на рис. 2 в виде графика  $E(Z_5)$ , который имеет вид немонотонной кривой с двумя минимумами. Первый из этих минимумов ( $Z_5=0$ ) — более глубокий — отвечает расположению Si (5) строго в центре тетраэдра, т. е. основному состоянию системы  $Si_5H_{12}$  с полной симметрией  $T_d$  и  $sp^3$ -схемой гибридизации Si (5) с Si (1, 2, 3, 4). Второй минимум ( $Z_5=0.9 \text{ \AA}$ ) на той же кривой  $E(Z_5)$  расположен выше основного на  $\sim 3 \text{ эВ}$  и представляет собой второе устойчивое состояние системы (возмущенной), которое отвечает расположению Si (5) вблизи центра треугольника Si (1, 2, 3). В этом случае симметрия всей системы понижается до  $C_3v$ , вместо первоначальной  $T_d$ , а  $sp^3$ -гибридизация атома Si (5) заменяется на  $sp^2$ . Более строгий расчет энергии второй конфигурации показывает, что точное достижение соответствующего минимума на кривой  $E(Z_5)$  требует небольшого симметричного растяжения треугольника Si (1, 2, 3) и удаления атома Si (4) от его исходного положения еще на  $0.2 \text{ \AA}$  вдоль оси  $Z$ . В таком случае полное расстояние Si (4)—Si (5) в новой конфигурации возрастает до  $3.41 \text{ \AA}$  вместо первоначального  $2.35 \text{ \AA}$ . Подобная конфигурация хорошо известна в физике твердого тела и называется неразделенной парой Френкеля или полувакансией. В случае образования полуваканси в решетке алмазного типа, как мы видим, разорванной оказывается лишь одна из четырех валентных связей [ $Si(4)-Si(5)$ -связь] вместо разрыва всех четырех связей при образовании обычной пары Френкеля. Этим же, по-видимому, объясняется и достаточно низкий энергетический барьер  $\sim 7 \text{ эВ}$  (рис. 2) вместо двух-трех десятков эВ при образовании обычной пары Френкеля.

4. Зафиксировав образованную выше конфигурацию полувакансию, возвратим в нее удаленный ранее H-атом. Будем передвигать этот H-атом вдоль той же оси  $Z$ , определяя вновь полную энергию системы (теперь уже кластера  $Si_5H_{12} + H$ ) в зависимости от положения H-атома на оси  $Z$ . Результаты соответствующего вычисления представлены на рис. 3 в виде графика  $E(Z_H)$ , который также представляет немонотонную кривую с двумя минимумами в интервале Si (4)—Si (5), причем один из минимумов глубже другого на  $0.3 \text{ эВ}$ . Из расчета следует, что эти минимумы удалены на расстояния  $d_1=1.53$  от Si (4)- и  $d_2=1.60 \text{ \AA}$  от Si (5)-атомов соответственно. Поскольку стандартная длина Si—H-связи известна и составляет (в силине)  $1.47-1.53 \text{ \AA}$ , можно заключить, что каждый из минимумов кривой  $E(Z_H)$  отвечает образованию валентной связи либо на Si (4)-, либо на Si (5)-атоме, а вся  $E(Z_H)$ -зависимость в целом представляет потенциальную энергию системы относительно смещений H-атома вдоль оси  $Z$ . Из большей глубины Si (4) следует также, что образование Si (4)—H-связи должно быть энергетически более выгодным, при этом на Si (5) остается неспаренная орбиталь  $e^-$ , обеспечивающая СТВ в системе. Расчет СТВ дает в применении к Ми-атому вместо H-атома значение константы  $A_s$ , равное  $-85 \text{ МГц}$ , достаточно близкое к экспериментальному значению  $-67.3 \text{ МГц}$  (знак минус обязателен обменному взаимо-

действию неспаренной  $e^-$ -орбитали с валентной парой молекулы Si—Mu; подробнее о механизме СТВ см. [6, 7]).

Наряду с полуvakансионной конфигурацией тем же методом  $DV-X_\alpha$  на таком же кластере  $\text{Si}_5\text{H}_{12}+\text{H}$  были повторены расчеты полной энергии  $E(Z_{\text{H}})$  в конфигурации, отвечающей BC-модели с релаксацией, причем в качестве эквивалентных выбирались Si (4)- и Si (5)-атомы. На рис. 4 приведены результаты этих расчетов для значений  $Z_{\text{H}}$  вблизи одного из минимумов соответствующей кривой  $E(Z_{\text{H}})$ . Верхняя зависимость  $E(Z_{\text{H}})$  (рис. 4) отвечает сдвигу каждого из Si (4)- и Si (5)-атомов на 0.8 Å от исходного положения, нижняя (рис. 4) — на 0.5 Å, из чего следует, что умеренный сдвиг Si-атомов энергетически выгоднее, чем сильный сдвиг. Кроме того, данный расчет еще раз демонстрирует совпадение результатов, полученных методом  $DV-X_\alpha$ , с результатами других работ (и прежде всего работы [10]).

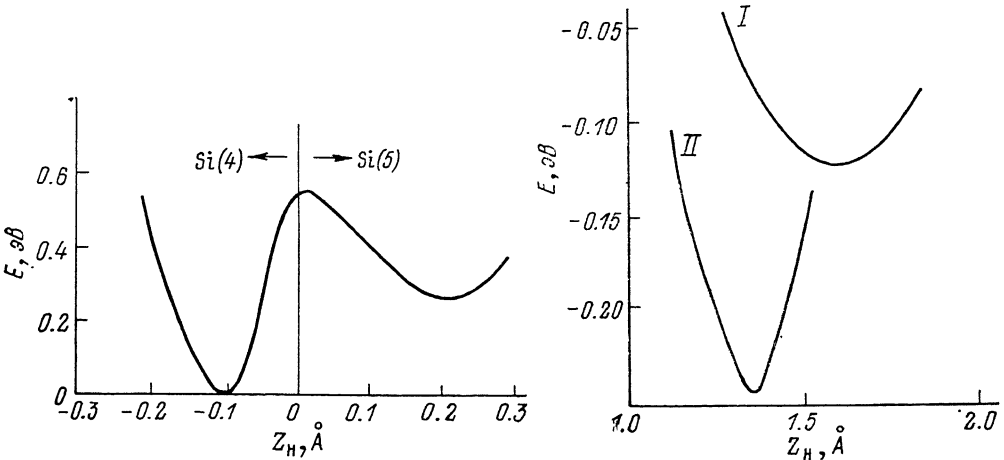


Рис. 3. Зависимость полной энергии  $E(Z_{\text{H}})$  кластера  $\text{Si}_5\text{H}_{12}+\text{H}$  от  $Z_{\text{H}}$ -координаты H-атома [атом Si (5) сдвинут в центр треугольника Si (1, 2, 3)].

Рис. 4. Зависимость полной энергии  $E(Z_{\text{H}})$  кластера  $\text{Si}_5\text{H}_{12}+\text{H}$  в модели релаксированной BC-связи.

Вблизи одного из минимумов  $E(Z_{\text{H}})$ : на верхней кривой I каждый из Si (4)- и Si (5)-атомов сдвинут на 0.8 Å, на нижней кривой II каждый сдвинут на 0.5 Å.

Возвращаясь вновь к рис. 3, отметим, что наличие барьера даже при несимметричной форме кривой  $E(Z_{\text{H}})$  открывает возможность туннелирования H-атома от Si (4) к Si (5) и обратно. Однако в этом случае несимметричной кривой  $E(Z_{\text{H}})$  доля времени, проводимого H-атомом в более мелкой яме вблизи Si (5), должна быть, вообще говоря, меньше, чем время, проводимое в более глубокой яме вблизи Si (4). Поэтому в такой модели даже при наличии туннелирования оба соседних к мюону Si-атома не могут считаться полностью эквивалентными.

С целью симметризации системы следует вновь обратиться к неполному кластеру  $\text{Si}_5\text{H}_{12}$ , добавив туда еще 3 атома Si (6, 7, 8) взамен 3-х H-атомов, насыщающих внешние связи Si (4). На рис. 5 показаны две эквивалентные конфигурации с полуvakансией, отвечающие такому расширению исходного кластера. В одной из них полуvakансия обязана сдвигу атома Si (5) в центр треугольника Si (1, 2, 3), когда Si (4)-атом остается на месте с образованием Si (4)—H-связи. Во второй конфигурации Si (4) сдвинут в центр треугольника Si (6, 7, 8), а на месте остается Si (5) и образуется Si (5)—H-связь. Физическое состояние системы должно отвечать линейной комбинации двух таких конфигураций с разными коэффициентами. Во временном формализме такой картине соответствует периодическое опрокидывание системы с переходами из 1-й конфигурации во 2-ю и обратно. В случае такого периодического процесса время, проводимое системой в каждой из конфигураций, должно быть строго одинаковым. В качестве грубой оценки частоты переходов из 1-й конфигурации во 2-ю можно восполь-

зоваться величиной инверсионного расщепления в молекуле аммиака  $\text{NH}_3$  (см., например, [16]), которая равна  $2 \cdot 10^{10} \text{ с}^{-1}$ . По-видимому, эта частота не изменится существенно после добавления в систему легкой компоненты (атомов Н или Mu), которая теперь будет периодически с равной вероятностью образовывать связь Si (4)–Н или Si (5)–Н. Очевидно, что в таком динамическом варианте предложенной модели с полуувакансией оба соседних с мюоном Si-атома оказываются полностью эквивалентными.

5. Рассмотрим, наконец, вопрос о возможном способе образования  $\text{Mu}^*$ -центра в полуувакансии. Ввиду крайне низкой концентрации готовых вакансий и полуувакансий ( $\sim 10^{11} \text{ см}^{-3}$ ) в сверхчистом кремни при азотных температурах невозможно объяснить высокую вероятность образования  $\text{Mu}^*$ -центров ( $\sim 50\%$ ) на этих готовых дефектах. Не останавливаясь также на уже отвергнутых в ряде работ возможностях образования полуувакансии «на лету» при торможении имплантируемого мюона, рассмотрим принципиально иной механизм. Так как время термализации мюона в конденсированных средах не превышает  $10^{-11} \text{ с}$ , а время радиационного девозбуждения атома водорода или мюония  $2p \rightarrow 1s$  составляет  $10^{-9} \text{ с}$  (см., например, [17]), то термализованная система  $\mu^+e^-$ , обра-

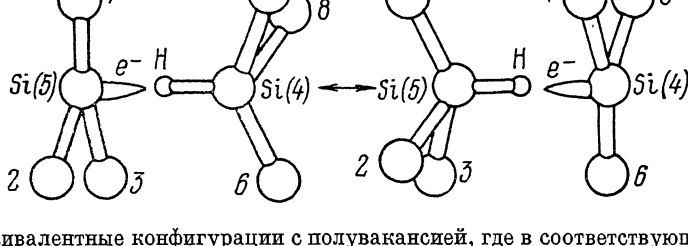


Рис. 5. Две эквивалентные конфигурации с полуувакансией, где в соответствующий локальный минимум сдвинут атом Si (5) и атом Si (4).

зующаяся при этом, может оказаться не в основном состоянии  $1s$ , а в одном из возбужденных состояний (например,  $2s$ - или  $2p$ -состоянии). Тогда переход в основное состояние  $2p \rightarrow 1s$  в системе  $\mu^+e^-$  может произойти либо через обычный радиационный механизм с образованием долгоживущего нормального мюония ( $\mu^+e^-$ -система в основном  $1s$ -состоянии), либо в результате безрадиационного перехода с передачей возбуждения без передачи импульса одной из локальных мод решетки (например, перенос одного из атомов Si (4) или Si (5) в соответствующий локальный минимум). При этом именно отсутствие импульса у перенесенного атома делает образование полуувакансии более выгодным по сравнению с образованием обычной пары Френкеля. Одновременно образуется Si (4)–Н- или Si (5)–Н-связь и происходит их взаимозамена из-за периодических переходов в системе.

Предложенная выше обобщенная микроскопическая модель аномального мюония  $\text{Mu}^*$  и  $AA9$ -центра в кремни (и остальных элементарных полупроводниках) представляет систему  $\text{Si}-\text{Mu}(\text{H})+e^-$ , образованную в полуувакансии решетки кремния и включающую положительные свойства и  $BC$ -модели (пара эквивалентных Si-атомов), и вакансационной модели (правильные знаки и порядок величин СТВ констант). Основные количественные результаты получены численным способом с помощью неограниченного метода Хартри–Фока в сочетании с процедурой  $DV-X_\alpha$ , выполненной на «минимальном» кластере  $\text{Si}_5\text{H}_{12}+\text{H}$ . Несмотря на крайнюю ограниченность выбранного кластера, полученные результаты представляются достаточно надежными. Физически это объясняется достаточно сильной локализацией электронной компоненты в такой системе. Кроме того, переход к кластерам большего размера убеждает в устойчивости полученных результатов. К сожалению, невозможно в рамках используемой вычислительной схемы выполнить расчеты по образованию системы и динамике ее «опрокидывания», поскольку туда входят неадиабатические члены, не содержащиеся в используемом  $DV-X_\alpha$ -методе. В будущем авторы намерены выполнить расчеты по энергетике и СТВ на кластерах больших размеров.

## Список литературы

- [1] Patterson B. D. // Rev. Mod. Phys. 1988. V. 60. P. 69.
- [2] Горелкинский Ю. В., Невинный Н. Н. // Письма ЖТФ. 1987. Т. 76. В. 1. С. 105.
- [3] Kiefl R. F., Celio M. et al. // Phys. Rev. Lett. 1988. V. 60. P. 224.
- [4] Белоусов Ю. В., Горелкин В. Н., Смилга В. П. // ЖЭТФ. 1978. Т. 74. Р. 629.
- [5] Cox S. I. J., Symons M. C. B. // Chem. Phys. Lett. 1986. V. 126. P. 516.
- [6] Самойлов В. М. // Препринт ИТЭФ-84-153. М., 1984.
- [7] Sahoo N., Mishra K. C., Das J. P. // Phys. Rev. Lett. 1985. V. 126. P. 1506.
- [8] Самойлов В. М. // Письма ЖЭТФ. 1987. Т. 45. В. 2. Р. 234.
- [9] Барсов С. Г., Геталов А. П. и др. // ЖЭТФ. 1979. Т. 76. С. 2198.
- [10] De Leo G. G., Dorogi M. J., Fowler W. B. // Phys. Rev. 1988. V. B38. P. 7520.
- [11] Myakenkaya G. S., Gutsev G. L., Obukhov Yu. V., Samoylov V. M. // Preprint ITEP-88-127. М., 1988.
- [12] Gutsev G. L., Levin A. A. // J. Chem. Phys. 1980. V. 51. P. 452.
- [13] Мякенская Г. С., Гутсев Г. Л. // ФТП. 1988. Т. 22. С. 1153.
- [14] Sahoo N., Sulaiman S. B., Mishra K. C., Das J. P. // Phys. Rev. 1989. V. B39. P. 13389.
- [15] Gutsev G. L., Myakenkaya G. S. // Phys. St. Sol. (b). 1989. V. 156. P. 319.
- [16] Фейнман Р., Лейтон Р., Сэндс М. Квантовая механика. Т. 6. М., 1966.
- [17] Бете Г., Солитер Э. Квантовая механика атомов с одним и двумя электронами. М., 1960.

Отделение института химической  
физики АН СССР  
Черноголовка

Получена 15.08.1990  
Принята к печати 28.01.1991